PENGENDALIAN KESEIMBANGAN PADA QUADROCOPTER PADA SAAT HOVERING MENGGUNAKAN KONTROL PROPOSIONAL INTEGRAL DEFERENSIAL (PID) BERBASIS MIKROKONTROLER ATMEGA 168-20 AU

Arif Dwi Jayanto¹, Ir. Purwanto., MT², Ir.Retnowati., MT³.

¹Mahasiswa Teknik Elektro UB, ^{2,3}Dosen Teknik Elektro UB arifdwiblontank@gmail.com

Abstrak—Quadrocopter merupakan miniatur pesawat terbang yang memiliki empat buah propeller. Miniatur pesawat terbang jenis ini kebanyakan digunakan untuk pengambilan visualisasi suatu kegiatan dari udara. Dengan keempat baling-balingnya diharapkan miniatur quadrocopter ini dapat melakukan hover di udara.

Untuk mencapai hover diudara, keempat motor harus di jaga kesetabilannya saat di udara dengan variasi gangguan berupa angin di udara. Sistem kontrol yang digunakan untuk menstabilkan adalah kontroler PID (proporsional, integral dan diferensial). keuntungan sistem kontrol PID yaitu dengan sistemnya yang sederhana sehingga lebih cepat dalam mengambil sebuah keputusan dan mudah dalam analisis tuning nilai Kp, Ki, dan Kd.

I. PENDAHULUAN

A. Latar Belakang

Quadrocopter merupakan salah satu bentuk dari sebuah pesawat terbang yang dilengkapi dengan empat baling-baling (propeller) pada ke empat lenganlengannya. Dari ke empat baling-baling tersebut memiliki daya dorong ke bawah yang membuat quadrocopter dapat melayang di udara^[2]. Karena quadrocopter ini merupakan sebuah miniatur, daya jelajah dan ketahanan keseimbangan terhadap disturbance tergolong rendah.

Dalam menjaga keseimbangannya *quadrocopter* harus dilengkapi dengan sebuah sensor yang disebut dengan *gyro*, untuk mendeteksi tingkat keseimbangan sebuah *quadrocopter* yaitu, *roll axis*, *yaw axis* dan *pitch axis*^[2]. Dari ke tiga tingkat keseimbangan tersebut sangat berpengaruh terhadap *gain* masing-masing aktuatornya.

Dengan perubahan pada tiap-tiap aktuatornya maka harus menggunakan sebuah kontroler, yang digunakan adalah sebuah kontroler PID. Kontroler ini cukup handal untuk mengatasi masalah dari disturbance yang berubah-ubah [3]. Roll, pitch dan yaw axis merupakan beberapa hal paling penting apabila disturbance pada saat keadaan diudara berubah-ubah. Hal ini dikarenakan adanya perubahan gain yang terjadi pada beberapa aktuatornya, sehingga apabila mengubah gain salah satu dari empat aktuator maka kondisi keseimbangan juga berpengaruh.

Kontroler PID mampu menghasilkan sinyal kontrol yang berubah-ubah, sesuai dengan perubahan kondisi dari *plant*^[3]. Dengan menggunakan kontroler PID, keseimbangan *quadrocopter* diharapkan mampu stabil meskipun dengan *disturbance* yang berubah-ubah

agar mendapatkan hasil dari pencitraan yang dibutuhkan saat di udara.

B. Rumusan Masalah

- 1. Bagaimana merancang kontroler PID untuk mempertahankan keseimbangan *roll*, *yaw dan pitch axis* pada *quadrocopter*?
- 2. Bagaimana merancang kondisi fisik *quadrocopter* dengan pemilihan komponen-komponen yang tepat?

C. Batasan Masalah

Untuk menekankan pada objek pembahasan yang ada, maka pada penelitian ini diberikan batasan masalah sebagai berikut:

- 1. Quadrocopter yang dibuat adalah merupakan sebuah miniatur.
- 2. Pembahasan ditekankan pada pengendalian keseimbangan dan respon sistem *quadrocopter*, kinerja driver dan elektronika tidak dibahas mendalam.
- 3. Gangguan berupa distribusi beban yang tidak merata dan angin yang berubah-ubah secara acak dalam batasan yang telah ditentukan.
- Pencitraan geografis dan proses terbang tidak dibahas mendalam.

II. METODOLOGI

Merancang dan membuat suatu *Quadrocopter* dengan menitik beratkan keseimbangan pada sumbu (X, Y, Z) dengan pengendalian yang menggunakan kontroler PID yang bertujuan agar dapat menampilkan performansi sistem sesuai dengan yang direncanakan.

Langkah-langkah yang perlu dilakukan untuk merealisasikan alat yang dibuat adalah sebagai berikut:

- 1. Spesifikasi alat
- 2. Perancanangan dan realisasi pembuatan alat
- 3. Pengujian alat
- 4. Pengambilan kesimpulan

III. PERANCANGAN SISTEM

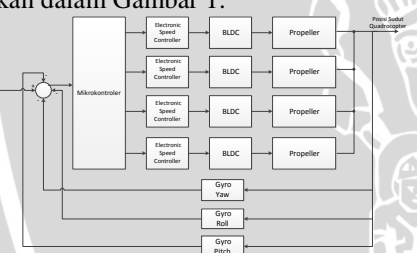
A. Tinjauan Umum

Dalam skripsi ini bertujuan untuk merancang beberapa perangkat maupun alat secara keseluruhan. Perancangan sistem *Quadrocopter* dirancang dengan spesifikasi sebagai berikut :

 Quadrocopter yang dibuat menggunakan rangka dengan spesifikasi sebagai berikut:

- ➤ Panjang 4 (empat) buah lengan dengan masing-masing panjangnya 40 cm
- Lengan *quadrocopter* menggunakan bahan aluminium berbetuk persegi dengan ketebalan 1 mm dan panjang masing-masing sisinya 1.2 cm
- ➤ Sudut antar lengan berjarak 90°
- Center plate menggunakan bahan acrylic dengan tebal 5 mm sebanyak 2 (dua) buah untuk peletakan board elektrik utama dan mengunci masing-masing lengan bagian atas dan bawah
- 2. Pergerakan *quadrocopter* menggunakan 4 (empat) buah BLDC (*Brushless Motor Direct Current*) pada masing-masing lengannya.
- 3. kV *rating* pada BLDC (*Brushless Motor Direct Current*) adalah 1200kV dengan maksimum tegangan masukan adalah 11.1 V^[1].
- 4. *Propeller* pada ujung *shaft* motor menggunakan EPP (*electric propeller plane*) 1045 (10x4.5 inchi).
- 5. 4 (empat) ESC (*Electronic Speed Controller*) sebagai pengkondisi sinyal masukan pada BLDC (*Brushless Motor Direct Current*) sebesar 30 A.
- 6. Menggunakan 3 (tiga) buah sensor *gyro*, satu untuk setiap sumbu (*axis*) *yaw*, *pitch* dan *roll*.
- 7. Mikrokontroler yang digunakan adalah 1 (satu) buah ATMEGA 168-20AU.

Perancangan blok diagram sistem seperti yang ditunjukkan dalam Gambar 1.



Gambar 1. Diagram Blok Sistem Quadrocopter

Keterangan dari diagram blok dalam Gambar 1:

- Input berupa sudut diberikan melalui transmitter, kemudian diterima melalui port receiver pada mikrokontroler (throttle, aileron, rudder, elevator).
- Mikrokontroler kemudian mengolah input dan menghasilkan sinyal kontrol yang kemudian akan dikeluarkan menuju ESC (electronic speed controller).
- ESC kemudian menguatkan sinyal kontrol dan diteruskan menuju BLDC (Brushless Motor Direct Current) sebagai penggerak propeller.
- Keluaran sudut (present value) kemudian di feedback pada tiga buah sensor gyro.
- Hasil pembacaan sensor kemudian dikurangkan dengan input sehingga mikrokontroler mampu mengkompensasi error yang terjadi.

B. Perancangan Quadrocopter

Secara umum rancangan rangka *quadrocopter* ditunjukkan dalam Gambar 2 dan Gambar *Quadrocopter* di tunjukkan dalam Gambar 3 :



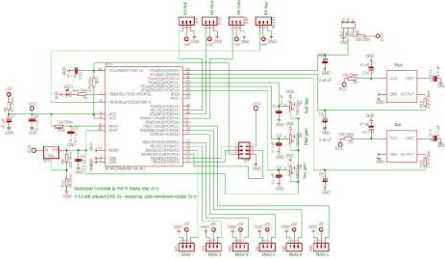
Gambar 2. Frame (rangka) Quadrocopter



Gambar 3. Quadrocopter

C. Rangkaian Board Mikrokontroler

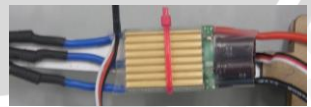
Board mikrokontroler merupakan rangkaian utama dari system quadrocopter. Pada pengendalian quadrocopter digunakan ATMEGA 168-20AU. Rangkaian board utama dapat dilihat dalam Gambar 4:



Gambar 4. Rangkaian Board Mikrokontroler

D. ESC (Electronic Speed Controller)

ESC berfungsi sebagai penguat tegangan dari masukan *pin* motor dan juga berfungsi sebagai pemecah fasa. Karena BLDC (*Brushless Motor Direct Current*) yang digunakan merupakan motor DC dengan 3 fasa yang memiliki hubungan *star*. Seperti dalam Gambar 5:



Gambar 5. Electronic Speed Controller

E. BLDC dan Propeller

Dalam pemilihan BLDC dan *propeller* yang tepat harus mengkombinasikan keduanya agar mampu menghasilkan daya angkat (*thrust*) yang sesuai dengan berat keseluruhan *quadrocopter* (termasuk *battery*), ESC, BLDC dan komponen-komponen lainnya^[6]. Untuk mengetahui perhitungan *thrust* yang dihasilkan sebuah *propeller* dapat diperoleh melalui perhitungan dari persamaan (1)^[7]:

Dengan EPP 1045 dengan BLDC 1200kV.. Tabel 1 menunjukkan thrust yang dihasilkan setiap kenaikan kecepatan BLDC.

	Tabel 1. P	erhitungan <i>Thrust</i>	
RPM	RPS (rad/s)	Thrust (N)	Thrust x 4 (N)
600	62.83	0.0588	0.235
1200	125.66	0.2353	0.9414
1800	188.49	0.5295	2.1182
2400	251.32	0.9414	3.7657
3000	314.15	1.4710	5.8840
3600	376.99	2.1182	8.47303
4200	439.82	2.8831	11.5327
4800	502.65	3.7657	15.0631
5400	565.48	4.7660	19.0643
6000	628.31	5.8840	23.5362
6600	691.15	7.1197	28.4788
7200	753.98	8.4730	33.8921
7800	816.81	9.9440	39.7762
8400	879.64	11.5327	46.1309
9000	942.47	13.2391	52.9564
9600	1005.30	15.0631	60.2527
10200	1068.14	17.0049	68.0196
10800	1130.97	19.0643	76.2573
11400	1193.80	21.2414	84.9657
12000	1256.63	23.5362	94.1448

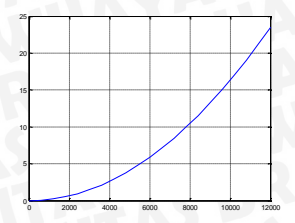
Jika berat maksimal quadrocopter mencapai 1.8 Kg, maka perhitungan gaya berat quadrocopter adalah:

 $F = 1.8 \text{ Kg x } 9.81 \text{ m/s}^2$

$$F = 1.8 \text{ Kg x } 9.81 \text{ m/s}^2$$

= 17.568 N

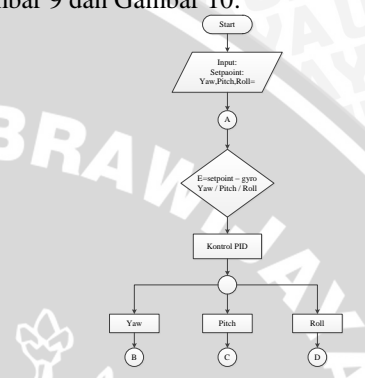
Hal ini berarti thrust minimal yang harus dihasilkan oleh keempat propeller adalah 17.658 N. Sesuai dengan perhitungan pada Tabel 2, pada kecepatan 5400 RPM menghasilkan thrust 19.04 N. Maka dapat dipastikan bahwa dapat quadrocopter terbang dalam kondisi hoover. Gambar 6 menunjukkan grafik hubungan linier antara RPM dan thrust pada EPP 1045:



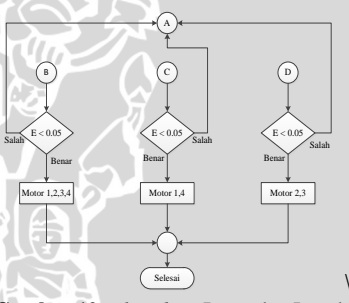
Gambar 6. Hubungan Thrust dan RPM EPP1045

F. Perancangan Perangkat Lunak

Perancangan perangkat lunak pada skripsi ini menggunakan bahasa pemrograman C++ dengan menggunakan software CodeVision AVR. Untuk Flowchart perancangan perangkat lunak dapat dilihat pada Gambar 9 dan Gambar 10:



Gambar 9. Flowchart Perangkat Lunak



Gambar 10. Flowchart Perangkat Lunak

IV. PENGUJIAN DAN ANALISA SISTEM

Tujuan pengujian sistem ini adalah untuk menentukan apakah alat yang telah dibuat berfungsi dengan baik dan sesuai dengan perancangan. Adapun langkah – langkah pengujian yang dilakukan adalah:

A. Pengujian sensor Gyro

Untuk pengujian suatu respon dari sensor gyro yang digunakan.

- Peralatan Pengujian
 - 1. Sensor gyro
 - Converter USB to RS232 PL2303
 - Laptop dengan OS (Operating System) Windows XP
 - 4. Beberapa buah kabel
 - 5. MATLAB R2011 Rev.B

2. Prosedur Pengujian

Pengujian dilakukan dengan menghubungkan keempat buah pin keluaran untuk motor dengan pin Rx pada board mikrokontroler. Kemudian pin untuk sinyal pada M6 dihubungkan dengan pin Rx pada RS232 dengan pin ground-nya juga dihubungkan pada pin ground M6. USB kemudian dihubungkan dengan salah satu port USB pada laptop. Untuk melihat perubahan yang ditunjukkan oleh sensor gyro, board mikrokontroler harus diubah posisi sudutnya.

Hasil Pengujian

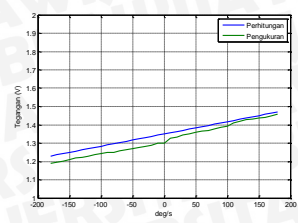
Dengan melakukan prosedur berdsasarkan tegangan, maka akan didapatkan keluaran dari gyro sesuai dengan persamaan (3).

$$\theta = 1.35 + 0.67 mV/deg/s.$$
 (3)

dan hasilnya dapat dilihat pada Tabel 2:

Tabel 2. Hasil Perhitungan dan Pengukuran Sensor Gyro						
Kecepatan		Tegangan Tegangan				
sudut	Perhitungan	Terukur	Error (%)			
(deg/s)	(V)	(V)				
0	1.3500	1.3002	0.036			
10	1.3567	1.3266	0.022			
20	1.3634	1.3333	0.022			
30	1.3701	1.3459	0.017			
40	1.3768	1.3509	0.018			
50	1.3835	1.3596	0.017			
60	1.3902	1.367	0.016			
70	1.3969	1.3701	0.019			
80	1.4036	1.378	0.018			
90	1.4103	1.3851	0.017			
100	1.417	1.3925	0.017			
110	1.4237	1.41	0.009			
120	1.4304	1.419	0.007			
130	1.4371	1.428	0.006			
140	1.4438	1.431	0.008			
150	1.4505	1.437	0.009			
160	1.4572	1.44	0.011			
170	1.4639	1.4501	0.009			
180	1.4706	1.457	0.009			
0	1.3500	1.3002	0.036			
-10	1.3433	1.299	0.032			
-20	1.3366	1.2894	0.034			
-30	1.3299	1.283	0.034			
-40	1.3232	1.277	0.034			
-50	1.3165	1.2711	0.033			
-60	1.3098	1.2642	0.033			
-70	1.3031	1.258	0.033			
-80	1.2964	1.25	0.034			
-90	1.2897	1.2498	0.029			
-100	1.2830	1.2421	0.030			
-110	1.2763	1.2359	0.029			
-120	1.2696	1.2293	0.029			
-130	1.2629	1.222	0.030			
-140	1.2562	1.2194	0.027			
-150	1.2495	1.2093	0.029			
-160	1.2428	1.2019	0.030			
-170	1.2361	1.1960	0.029			
-180	1.2294	1.1889	0.030			

Dari hasil Tabel 2 akan didapatkan karakteristik dari respon gyro yang dapat dilihat dalam Gambar 11:



Gambar 11. Respon Sensor Gyro CW dan CCW

B. Pengujian Karakteristik Motor BLDC

Pengujian ini bertujuan untuk mengetahui tingkat kelinieran kecepatan motor BLDC 1200kV dengan tegangan masukan yang diberikan. Tegangan diberikan melalui ESC dengan masukan ESC merupakan sinyal PWM dari mikrokontroler.

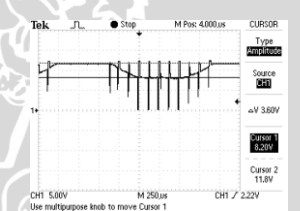
- 1. Peralatan Pengujian
 - Borad Mikrokontroler a)
 - Osiloskop b)
 - **ESC** c)
 - **BLDC** Motor d)
 - **Tachometer**

Prosedur Pengujian

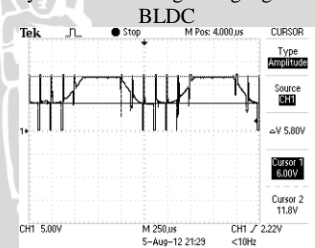
Pengujian dilakukan dengan memberikan tegangan melalui ESC dengan nilai PWM divariasi mulai dari 10% sampai dengan 100%. Salah satu line masukan dari BLDC dihubungkan dengan osiloskop dengan bagian luar motor diukur kecepatannya dengan menggunakan tachometer.

3. Hasil Pengujian

Dari prosedur pengujian yang dilakukan maka didapatkan hasil sinyal masukan yang pada motor BLDC yang digunakan seperti dalam Gambar 12 dengan tegangan 3.60 V dan Gambar 13 dengan tegangan 5.80 V:



Gambar 12. Sinyal Masukan dengan Tegangan 3.60V pada Motor

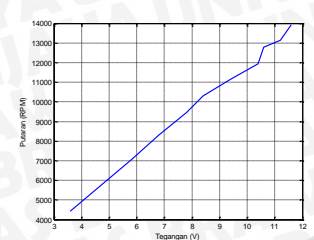


Gambar 13. Sinyal Masukan dengan Tegangan 5.80V pada Motor BLDC

Dari pengujian PWM (tegangan masukan dari ESC) dan kecepatan pengujian motor akan didapatkan hubungan dari keduanya yang dapat dilihat dalam Tabel 3:

Tegangan	Kecepatan Motor (RPM)
3.6	4424
5.8	7060
6.8	8300
7.8	9460
8.4	10293
9.4	11150
10.4	11950
10.6	12800
11.2	13150
11.6	13932

Berdasarkan Tabel 3 akan didapatkan hasil karakteristik motor BLDC yang akan menghasilkan kecepatan putaran motor sesuai dengan tegangan masukan yang di berikan oleh ESC dapat dilihat dalam Gambar 14:



Gambar 14. Grafik Hubungan Tegangan dan RPM BLDC $1200K_v$

C. Pengujian Sinyal Kontrol BLDC

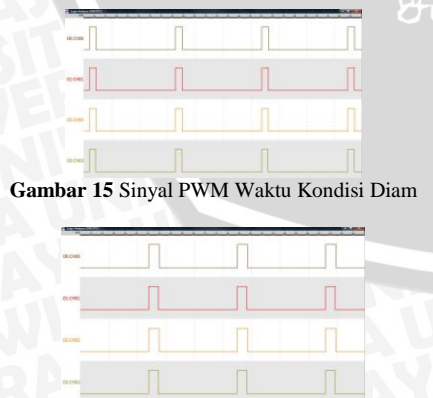
Pengujian ini bertujuan untuk mengetahui ketepatan lebar sinyal *high* yang dihasilkan oleh mikrokontroler. Lebar sinyal *high* mempengaruhi kecepatan putaran motor BLDC.

- 1. Peralatan Pengujian
 - a) Board mikrokontroler
 - b) Laptop
 - c) BLDC
 - d) ELAB
 - e) Battery Li-Po 11.1 V
 - f) Transmitter
 - g) Osiloskop
- 2. Prosedur Pengujian

Pengujian dilakukan dengan menghubungkan pin keluaran motor BLDC pada board mikrokontroler dengan ELAB dan laptop. Perubahan lebar pulsa pada pin keluaran motor dapat dihasilkan dengan menaikkan atau menurunkan stick pada transmitter.

3. Hasil Pengujian

Setelah melakukan prosedur pengujian, maka akan didapatkan hasil yang ditunjukkan dalam Gambar 15 dan Gambar 16 sesuai dengan lebar sinyal yang telah di berikan.



Gambar 16 Sinyal PWM Waktu Kondisi Berputar

Pada kedua Gambar 15 dan Gambar 16 dapat disimpulkan bahwa keempat motor BLDC bekerja secara bersamaan dan dengan lebar sinyal yang sama. Dengan demikian akan menghasilkan kesetimbangan saat melakukan *hover*.

Berdasarkan hasil pengujian sinyal kontrol, dapat disimpulkan bahwa rangkaian *board* mikrokontroler ATMEGA 168-20AU dapat mengeluarkan sinyal kontrol dengan baik dan sesuai dengan sistem yang direncanakan

D. Pengujian Trust

Pengujian ini bertujuan untuk melihat perbandingan antara *thrust* dari perhitungan secara teori dan dari pengambilan data pada saat pengujian sistem.

- 1. Peralatan Pengujian
 - a) Board mikrokontroler
 - b) Timbangan digital
 - c) Motor test bench
 - d) Li-Po Battery 11.1 V
 - e) BLDC 1200kV
 - f) Propeller EPP 1045
 - g) Transmitter
 - h) Tachometer
- 2. Prosedur Pengujian

Pengujian dilakukan dengan memasang dan mengaktifkan motor BLDC yang sudah terpasang dengan propeller EPP1045 pada motor test bench. Test Bench kemudian diletakkan pada bagian atas timbangan digital. Untuk melihat perubahan thrust yang terjadi, stick pada transmitter dinaikkan atau diturunkan.

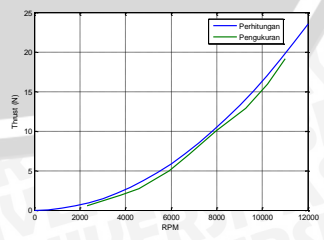
3. Hasil pengujian

Setelah melakukan pengujian didapatkan hasil seperti dalam Tabel 4:

Tabel 4. Hasil Pengujian Thrust

Tabel 4. Hashi i engujian Initusi								
No. RPM		Thrust	Thrust					
/ X H		Pengukuran (N)	Perhitungan (N)					
1.1	2314	2.132	0.665					
2.	3781	3.433	1.959					
3.	4590	4.694	2.967					
4.	5900	7.113	5.157					
5.	6788	9.992	7.124					
6.	7991	12.33	10.001					
7.	9267	14.556	13.42					
8.	10239	18.783	16.958					
9.	11006	22.75	20.145					
10.	12045	23.235	20.860					

Dengan membandingkan hasil pengujian di Tabel 5 dengan hasil perhitungan teori sesuai dengan persamaan (1), maka didapatkan hasil seperti dalam Gambar 19:



Gambar 19. Grafik Perbandingan Thrust Perhitungan dan Hasil

E. Pengujian Keseluruhan

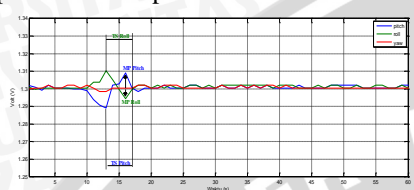
Pengujian ini bertujuan untuk melihat respon kesetimbangan sistem *quadrocopter* secara keseluruhan yang mencakup gerak rotasional *yaw*, *pitch*, *roll* yang di butuhkan saat *quadrocopter* melakukan *hover* di udara.

- 1. Peralatan Pengujian
 - a) Converter USB to RS232 PL2303
 - b) Komputer
 - c) Minimum Sistem ATMega8
 - d) Beberapa buah kabel
- 2. Prosedur Pengujian

Untuk dapat melihat respon dari sensor *gyro*, pin *output* dari *gyro* dihubungkan dengan *pin* adc dari mikrokontroler ATMega8. Dari ATMega 8, *pin* Tx dan Rx dihubungkan dengan *pin* Tx dan Rx pada RS232. Kemudian dihubungkan pada komputer secara serial.

3. Hasil Pengujian

Setelah melakukan prosedur pengujian, maka didapatkan hasil seperti Gambar 20.



Gambar 20. Grafik Hasil PengujianKeseluruhan

Dari gambar 20 dapat diketahui performansi sistem sebagai berikut:

- a. Time Settling (ts)
 - *Time settling* pada respons kesetimbangan *pitch axis* adalah 4s.
 - *Time settling* pada respons kesetimbangan *roll axis* adalah 4s.
- b. Error Steady State (ESS)

Nilai osilasi maksimum dalam Gambar 20 di setiap *axis*-nya adalah 1.302 dengan *setpoint* adalah 1.3, maka :

$$ESS = \frac{1.302 - 1.3}{1.3} \times 100\%$$
$$= 0.15 \%$$

- c. Maximum Overshoot (Mp)
 - Untuk Pitch axis
 Nilai tertinggi dari gambar 5.11
 adalah 1.309, maka:

$$Mp = \frac{1.309 - 1.3}{1.3} \times 100\%$$
$$= 0.7 \%$$

• Untuk *Roll axis*Nilai tertinggi dari gambar 5.11
adalah 1.295, maka:

$$Mp = \frac{1.294 - 1.3}{1.3} \times 100\%$$
= 0.5 %

V. PENUTUP

A. Kesimpulan

Dari perancangan, pengujian dan pengamatan yang telah dilakukan pada *quadrocopter*, maka dapat diambil kesimpulan sebagai berikut :

- Dengan menggunakan algoritma PID, sistem quadrocopter mampu menaikkan/menurunkan kecepatan motor BLDC 1 dan 3 untuk pergerakan pitch, menaikkan/menurunkan kecepatan motor BLDC 2 dan 4 untuk pergerakan roll, menaikkan kecepatan motor BLDC 2 dan 4 serta menurunkan kecepatan motor BLDC 1 dan 3 untuk pergerakan yaw. ditentukan Parameter PID dengan menggunakan metode hand tuning dan didapatkan nilai Kp = 3.4, Ki = 4 dan Kd = 0.4. Dengan menggunakan parameter tersebut sistem mampu mempertahankan posisi setimbang masing-masing sumbu pada sudut rotasional 0°.
- 2. Quadrocopter yang dirancang memiliki respon sistem sesuai dengan yang direncanakan dengan panjang lengan masingmasing 40cm dan sudut antar lengan 90°. Quadrocopter menggunakan sensor gyro sebagai feedback sistem dan BLDC motor 1200 kV sebagai aktuator. Gaya dorong dihasilkan melalui perpaduan kecepatan putaran motor dan propeller EPP1045 dengan thrust maksimal mencapai 20.860 N akan mampu membuat quadrocopter terbang pada kecaparan putaran propeller sebesar 5400 RPM.

B. Saran

Dalam perancangan dan pembuatan alat ini masih terdapat beberapa kelemahan. Untuk memperbaiki kinerja *quadrocopter* dan pengembangan lebih lanjut disarankan:

- 1. Penambahan data *logger* agar mampu merekam data pada saat benar-benar terbang, sehingga dapat menganalisa sistem *quadrocopter*.
- 2. Frame diganti dengan serat karbon agar bisa lebih ringan dan kuat.
- 3. Algoritma PID perlu digabungkan dengan kalman filter dengan untuk sistem yang lebih *robust*.
- 4. Penambahan sensor *accelerometer* agar mampu mealakukan *auto level* saat melakukan *hover* di udara.
- Penambahan LCD pada *quadrocopter* agar saat pengaturan sensor *gyro*, kerja sensor tersebut tidak terbalik.

REFERENIS

- Buchi, Roland. 2012. Brushless Motors and Controllers. Norderstedt. Books on Demand.
- [2] Bresciani, Tomasso. 2008. Modelling, Identification and Controlling of Quadrotor Helicopter. Lund. Department of Automatic Control (Lund University).
- Ogata, Katsuhiko. 1997. *Teknik Kontrol Automatik*. Jakarta. Penerbit Erlangga.
- ⁴ Murata Manufacturing.,Co.Ltd. Piezoelectric Vibrating Gyroscope ENC Series.
- Atmel Corporation. 2011. ATMEGA 168 Series.
- [6] Brown, Ward. 2002. Brushless DC Motor Control Made Easy. Microchip Technology. Inc.
- ^{7]} Domingues, Jorge. 2009. *Quadrotor Prototype*. Instituto Superior Technico.



